

INSTITUTO DE TECNOLOGIA - UFPA
FACULDADE DE ENG. MECÂNICA

DISCIPLINA: MECÂNICA DOS SÓLIDOS II

Parte 1:
Transformações de Tensões

Professor: Leonardo Dantas Rodrigues



TRANSFORMAÇÕES DE TENSÕES



Técnica de fotoelasticidade aplicada a um gancho de guindaste. As franjas apontam a direção e magnitude das tensões principais.

ESTADO DE TENSÃO (TENSOR DE TENSÕES)

- O estado de tensões mais geral em um dado ponto de interesse pode ser representado por **seis componentes**, que podem ser dispostos em uma matriz chamada **tensor de tensões**:

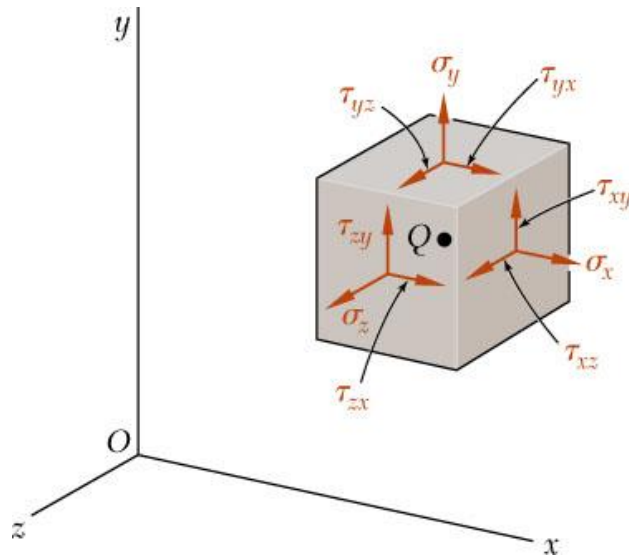


Figura 1.1: Estado de tensão no sistema x-y-z, representado em um cubo elementar

Tensões
Normais

Tensões
Cisalhantes

$$[\sigma] = \begin{bmatrix} \sigma_x & \tau_{xy} & \tau_{xz} \\ \tau_{yx} & \sigma_y & \tau_{yz} \\ \tau_{zx} & \tau_{zy} & \sigma_z \end{bmatrix}$$

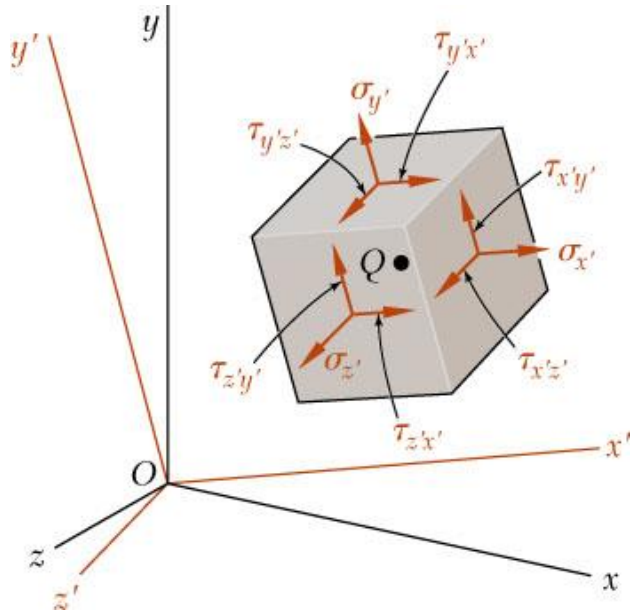
Sendo que, por equilíbrio:

$$\tau_{xz} = \tau_{zx}, \tau_{xy} = \tau_{yx} \text{ e } \tau_{yz} = \tau_{zy}$$

Sinal da tensão de cisalhamento: positiva quando estiver para cima ou para a direita nas faces positivas do cubo elementar (\mathbf{x}^+ , \mathbf{y}^+ e \mathbf{z}^+) e para baixo e para a esquerda nas faces negativas (\mathbf{x}^- , \mathbf{y}^- e \mathbf{z}^-).

ESTADO DE TENSÃO (TENSOR DE TENSÕES)

- O mais comum é se trabalhar no sistema de eixos x-y-z. Porém, não são raras as situações em que é necessário o cálculo do estado de tensão em outras direções.



$$[\sigma'] = \begin{bmatrix} \sigma_{x'} & \tau_{x'y'} & \tau_{x'z'} \\ \tau_{y'x'} & \sigma_{y'} & \tau_{y'z'} \\ \tau_{z'x'} & \tau_{z'y'} & \sigma_{z'} \end{bmatrix}$$

Sendo que, por equilíbrio:

$$\tau_{x'z'} = \tau_{z'x'}, \tau_{x'y'} = \tau_{y'x'} \text{ e } \tau_{y'z'} = \tau_{z'y'}$$

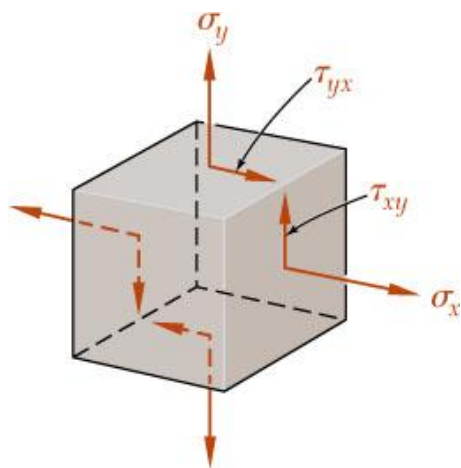
Figura 1.2: Estado de tensão em um sistema aleatório x'-y'-z'

Uma vez obtido o estado de tensão em um sistema de referência, pode-se obter facilmente o estado de tensão em quaisquer outras direções.



ESTADO PLANO DE TENSÃO

Estado de tensões em que duas faces do paralelepípedo elementar estão livres de qualquer tensão. A grande maioria dos carregamentos reais podem ser representados por estados plano de tensões.



$$\sigma_x, \sigma_y \text{ e } \tau_{xy}$$
$$\sigma_z = \tau_{xz} = \tau_{yz} = 0$$

Figura 1.3: Representação de um estado plano de tensões

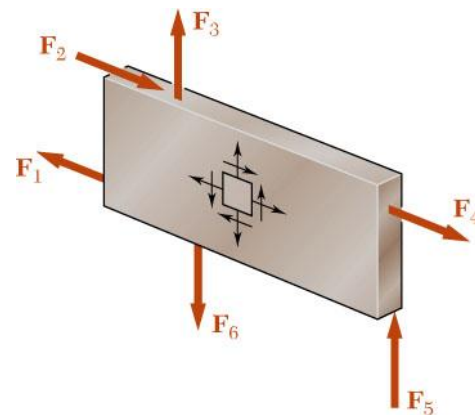


Figura 1.4: Exemplo de uma placa fina

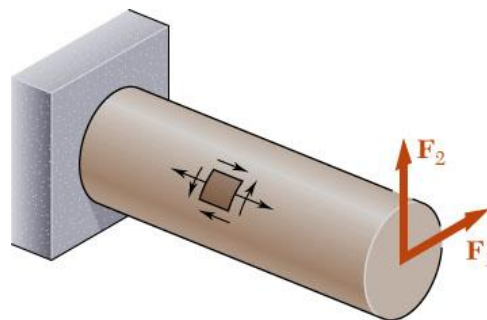


Figura 1.5: Exemplo de um eixo maciço

TRANSFORMAÇÃO DO ESTADO PLANO DE TENSÃO

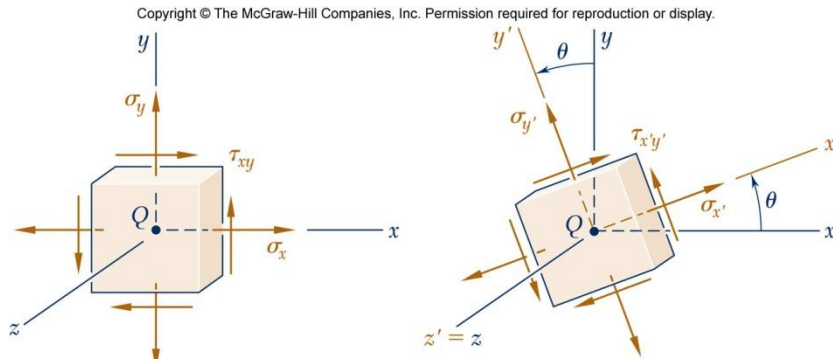


Figura 1.5: Estados planos de tensões nos planos: a) x-y; e b) x'-y'

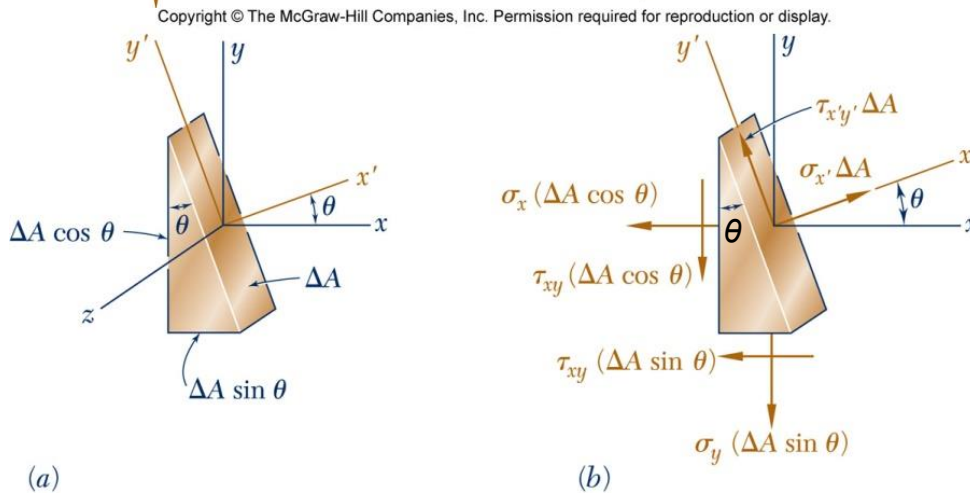


Figura 1.6: Representação mais usual, através de um triângulo retângulo com hipotenusa igual às arestas do cubo original.

Aplicando equilíbrios de força na fig. 1.6b, tem-se:

$$\begin{aligned} \sum F_{x'} = 0 \Rightarrow & \sigma_{x'} \Delta A - \sigma_x (\Delta A \cos \theta) \cos \theta - \tau_{xy} (\Delta A \cos \theta) \sin \theta \\ & - \sigma_y (\Delta A \sin \theta) \sin \theta - \tau_{xy} (\Delta A \sin \theta) \cos \theta = 0 \end{aligned} \quad (1.1)$$

$$\begin{aligned} \sum F_{y'} = 0 \Rightarrow & \tau_{x'y'} \Delta A + \sigma_x (\Delta A \cos \theta) \sin \theta - \tau_{xy} (\Delta A \cos \theta) \cos \theta \\ & - \sigma_y (\Delta A \sin \theta) \cos \theta + \tau_{xy} (\Delta A \sin \theta) \sin \theta = 0 \end{aligned}$$

TRANSFORMAÇÃO DO ESTADO PLANO DE TENSÃO

Resolvendo as equações (1.1) para $\sigma_{x'}$ e $\tau_{x'y'}$, tem-se:

$$\sigma_{x'} = \sigma_x \cos^2 \theta + \sigma_y \sin^2 \theta + 2\tau_{xy} \sin \theta \cos \theta \quad (1.2)$$

$$\tau_{x'y'} = -(\sigma_x - \sigma_y) \sin \theta \cos \theta + \tau_{xy} (\cos^2 \theta - \sin^2 \theta) \quad (1.3)$$

Usando as seguintes relações trigonométricas:

$$\sin 2\theta = 2 \sin \theta \cos \theta \quad \cos 2\theta = (\cos^2 \theta - \sin^2 \theta) \quad (1.4)$$

$$\cos^2 \theta = \frac{(1 + \cos 2\theta)}{2} \quad \sin^2 \theta = \frac{(1 - \cos 2\theta)}{2} \quad (1.5)$$



TRANSFORMAÇÃO DO ESTADO PLANO DE TENSÃO

As equações (1.2) e (1.3) podem ser reescritas como:

$$\sigma_{x'} = \frac{\sigma_x + \sigma_y}{2} + \frac{\sigma_x - \sigma_y}{2} \cos 2\theta + \tau_{xy} \operatorname{sen} 2\theta \quad (1.6)$$

$$\tau_{x'y'} = -\frac{\sigma_x - \sigma_y}{2} \operatorname{sen} 2\theta + \tau_{xy} \cos 2\theta \quad (1.7)$$

Para determinar $\sigma_{y'}$, basta substituir θ por $\theta + 90^\circ$ em (1.6):

$$\sigma_{y'} = \frac{\sigma_x + \sigma_y}{2} - \frac{\sigma_x - \sigma_y}{2} \cos 2\theta - \tau_{xy} \operatorname{sen} 2\theta \quad (1.8)$$



TRANSFORMAÇÃO DO ESTADO PLANO DE TENSÃO

Exemplo 1.1: O estado plano de tensão em um ponto de uma estrutura é dado pelo elemento mostrado na figura 1.7. Determine o estado de tensão no ponto em outro elemento, orientado a 30° no sentido horário em relação à posição mostrada.

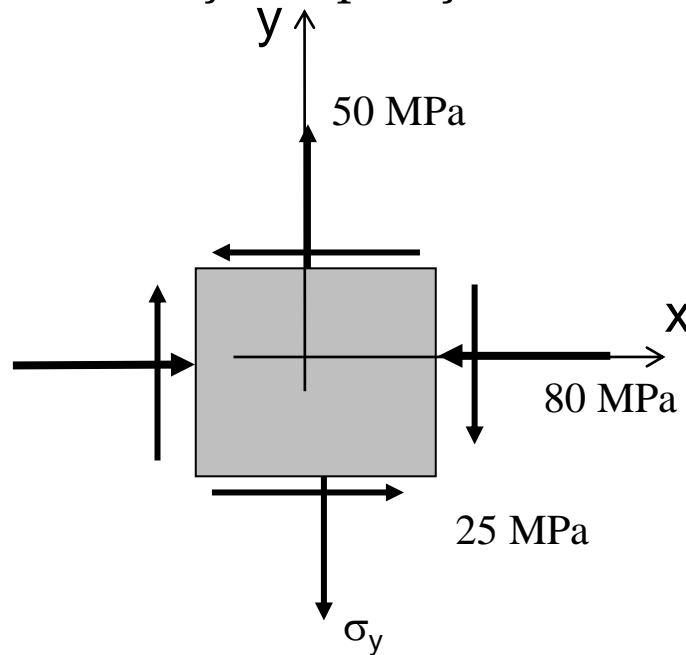


Figura 1.7

Pela convenção de sinal estabelecida, o estado de tensões em x-y tem as seguintes componentes:

$$\sigma_x = -80 \text{ MPa}$$

$$\sigma_y = 50 \text{ MPa}$$

$$\tau_{xy} = -25 \text{ MPa}$$

TRANSFORMAÇÃO DO ESTADO PLANO DE TENSÃO

Exemplo 1.1: Solução

Basta aplicar as equações 1.6 a 1.8, tendo como base a figura 1.8 e a convenção estabelecida de que ângulos no sentido horário são negativos.

$$\sigma_{x'} = \frac{-80 + 50}{2} + \frac{-80 - 50}{2} \cos 2(-30^\circ) + (-25) \sin 2(-30^\circ)$$

$$\sigma_{x'} = -25,8 \text{ MPa}$$

$$\sigma_{y'} = \frac{-80 + 50}{2} + \frac{-80 - 50}{2} \cos 2(60^\circ) + (-25) \sin 2(60^\circ)$$

$$\sigma_{y'} = -4,15 \text{ MPa}$$

$$\tau_{x'y'} = -\frac{-80 - 50}{2} \sin 2(-30^\circ) + (-25) \cos 2(-30^\circ)$$

$$\tau_{x'y'} = -68,8 \text{ MPa}$$

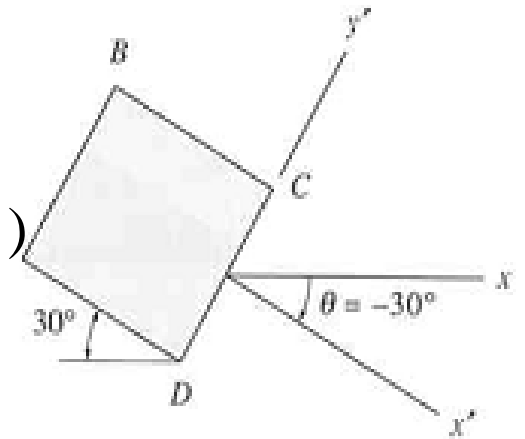


Figura 1.8

TENSÕES PRINCIPAIS NO PLANO

Em geral, uma das informações mais relevantes na análise de tensões é a orientação dos planos onde ocorrem as **tensões normais máxima e mínima**, a **máxima tensão de cisalhamento**, e os valores dessas tensões.

Para encontrar a orientação das **tensões normais máxima e mínima** (no plano), uma das formas é derivar a equação (1.6) em relação a θ e igualar o resultado a zero:

$$\frac{d\sigma_{x'}}{d\theta} = -\frac{\sigma_x - \sigma_y}{2} \cdot 2 \cdot \text{sen}(2\theta) + \tau_{xy} \cdot 2 \cdot \cos(2\theta) = 0$$

Isolando os termos relacionados θ , tem-se:

$$\text{tg}(2\theta_p) = \frac{\tau_{xy}}{\frac{(\sigma_x - \sigma_y)}{2}} \quad (1.9)$$

A equação (1.9) fornece duas soluções $2\theta_{p1}$ e $2\theta_{p2}$, defasados em 180° . Sendo que, θ_{p1} e θ_{p2} são as direções das tensões normais máxima e mínima, respectivamente, em relação ao semieixo positivo x.

TENSÕES PRINCIPAIS NO PLANO

Substituindo os valores de θ_{p1} e θ_{p2} na equação (1.6), encontram-se os valores das tensões **normais máxima e mínima**.

O seno e o cosseno de $2\theta_{p1}$ e $2\theta_{p2}$ são obtidos a partir dos triângulos da figura (1.9), baseado na eq (1.9). Tem-se, para θ_{p1} :

$$\text{sen}(2\theta_{p1}) = \tau_{xy} / \sqrt{\left(\frac{\sigma_x - \sigma_y}{2}\right)^2 + \tau_{xy}^2} \quad (1.10)$$

$$\text{cos}(2\theta_{p1}) = \left(\frac{\sigma_x - \sigma_y}{2}\right) / \sqrt{\left(\frac{\sigma_x - \sigma_y}{2}\right)^2 + \tau_{xy}^2}$$

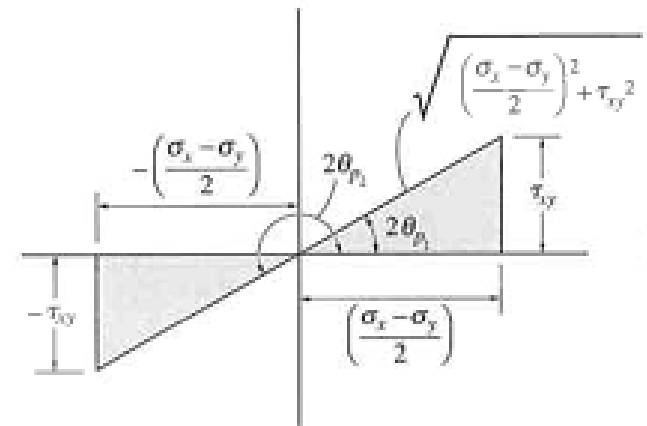


Figura 1.9

Para θ_{p2} :

$$\text{sen}(2\theta_{p2}) = -\tau_{xy} / \sqrt{\left(\frac{\sigma_x - \sigma_y}{2}\right)^2 + \tau_{xy}^2}$$
$$\text{cos}(2\theta_{p2}) = -\left(\frac{\sigma_x - \sigma_y}{2}\right) / \sqrt{\left(\frac{\sigma_x - \sigma_y}{2}\right)^2 + \tau_{xy}^2} \quad (1.11)$$

TENSÕES PRINCIPAIS NO PLANO

Substituindo os dois conjuntos de relações trigonométricas (1.10) e (1.11) na equação (1.6), temos:

$$\sigma_{1,2} = \left(\frac{\sigma_x + \sigma_y}{2} \right) \pm \sqrt{\left(\frac{\sigma_x - \sigma_y}{2} \right)^2 + \tau_{xy}^2} \quad (1.12)$$

A equação 1.12 define os valores das tensões normais máxima e mínima no plano. Estas são chamadas **tensões principais**.

Nas faces onde atuam as tensões principais, o cisalhamento é nulo (figura 1.10)

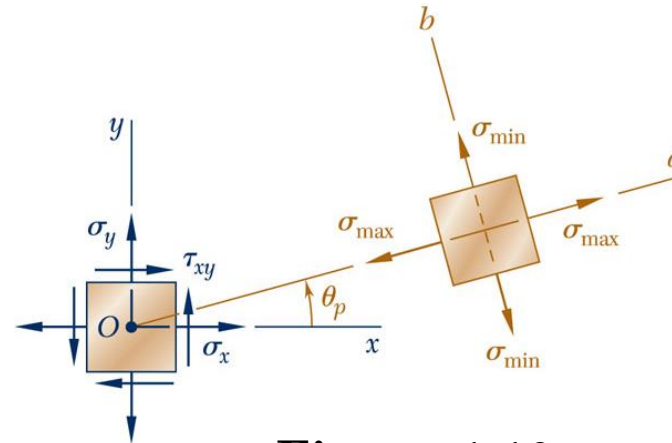


Figura 1.10

*Pode-se também chegar às equações 1.12 calculando os **autovalores** do tensor de tensões no estado plano. As direções de atuação das tensões principais são obtidas pelos **autovetores**. (Exercício: Chegar à equação 1.12 pelos autovalores)*

TENSÃO DE CISALHAMENTO MÁXIMA NO PLANO

Para determinar a orientação do elemento em cujas faces atua a tensão máxima de cisalhamento no plano, deriva-se a equação (1.7) e iguala-se o resultado a zero. Chega-se então a:

$$\operatorname{tg}(2\theta_c) = -\frac{\frac{(\sigma_x - \sigma_y)}{2}}{\tau_{xy}} \quad (1.13)$$

As duas raízes da equação (1.13), θ_{c1} e θ_{c2} são defasados 45° dos ângulos θ_{p1} e θ_{p2} determinados anteriormente. Ou seja, **a orientação do elemento no qual atua a tensão de cisalhamento máxima no plano está a 45° do elemento onde atuam as tensões principais.**

Usando procedimento similar ao aplicado anteriormente para as tensões principais. Pode-se chegar ao valor da **tensão máxima de cisalhamento no plano**, substituindo o seno e o cosseno de $2\theta_c$ na equação (1.7):

$$\tau_{\max} = \sqrt{\left(\frac{\sigma_x - \sigma_y}{2}\right)^2 + \tau_{xy}^2} \quad (1.14)$$



TENSÃO DE CISALHAMENTO MÁXIMA NO PLANO

Substituindo ainda os valores de θ_c na equação (1.6), chega-se a:

$$\sigma_{med} = \frac{(\sigma_x + \sigma_y)}{2} \quad (1.15)$$

A tensão normal média atua nas faces onde atua a máxima tensão de cisalhamento no plano (figura 1.11).

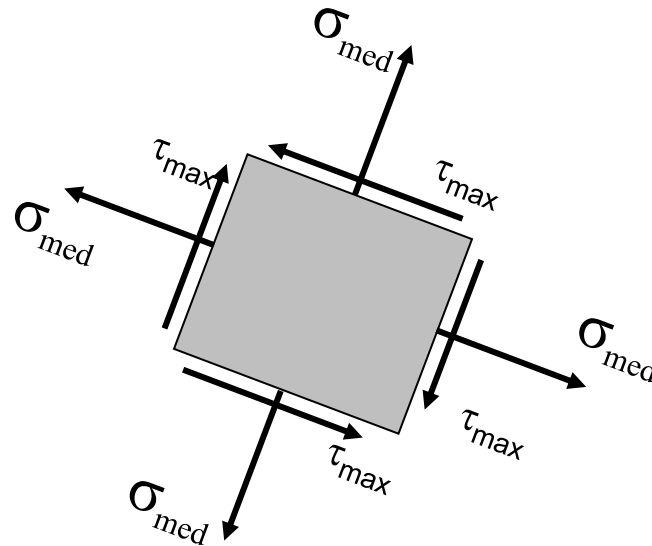


Figura 1.11



TENSÕES PRINCIPAIS E TENSÃO DE CISALHAMENTO MÁXIMA NO PLANO

Exemplo 1.2: Quando a carga de torção T é aplicada à barra da figura 1.12, produz um estado de tensões de cisalhamento puro no material. Determinar: a) A tensão de cisalhamento máxima no plano; b) a tensão normal média; e c) As tensões principais no plano.

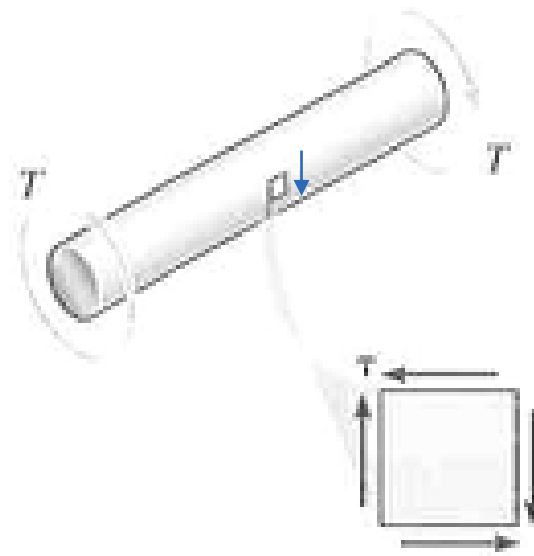


Figura 1.12

Pela convenção de sinal estabelecida, o estado de tensões em x-y tem as seguintes componentes:

$$\sigma_x = 0$$

$$\sigma_y = 0$$

$$\tau_{xy} = -\tau$$

TENSÕES PRINCIPAIS E TENSÃO DE CISALHAMENTO MÁXIMA NO PLANO

Exemplo 1.2: SOLUÇÃO

- Tensão de cisalhamento máxima no plano:

$$\tau_{\max} = \sqrt{\left(\frac{\sigma_x - \sigma_y}{2}\right)^2 + \tau_{xy}^2} = \pm \tau$$

Os sinais negativo e positivo estão relacionados com a convenção estabelecida.

Os sinais sempre se alternarão em positivo e negativo entre faces defasadas 90° para que haja o equilíbrio (testar na equação 1.7).

- Tensão normal média:

$$\sigma_{med} = \frac{(\sigma_x + \sigma_y)}{2} = \frac{(0 + 0)}{2} = 0$$



TENSÕES PRINCIPAIS E TENSÃO DE CISALHAMENTO MÁXIMA NO PLANO

Exemplo 1.2: SOLUÇÃO

- Tensões principais e suas orientações:

$$\sigma_{1,2} = \left(\frac{\sigma_x + \sigma_y}{2} \right) \pm \sqrt{\left(\frac{\sigma_x - \sigma_y}{2} \right)^2 + \tau_{xy}^2} = 0 \pm \sqrt{0 + \tau^2} = \pm \tau$$

$$\operatorname{tg}(2\theta_p) = \frac{2\tau_{xy}}{(\sigma_x - \sigma_y)} = \frac{-2\tau}{(0 - 0)} \Rightarrow \theta_p = -45^\circ \text{ e } 45^\circ$$

Para verificar qual desses ângulos é θ_{p1} e qual é θ_{p2} substitui-se um deles na equação (1.6):

$$\sigma_{x'} = 0 + 0\cos(2.45^\circ) - \tau\operatorname{sen}(2.45^\circ) = -\tau$$

**Portanto $\theta_{p1} = -45^\circ$ e $\theta_{p2} = 45^\circ$,
como mostra a figura 1.13.**

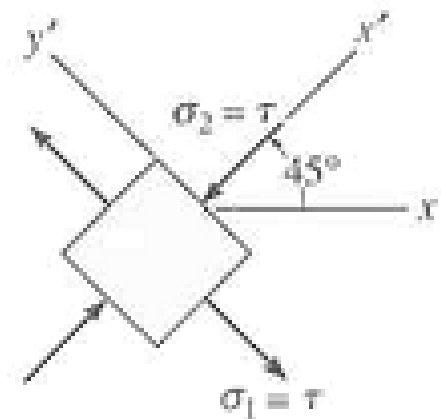


Figura 1.13

TENSÕES PRINCIPAIS E TENSÃO DE CISALHAMENTO MÁXIMA NO PLANO

Exemplo 1.3: Quando a carga axial P é aplicada à barra da figura 1.14, produz um esforço de tração no material, como mostrado. Determinar: a) as tensões principais no plano; b) tensão de cisalhamento máxima no plano.

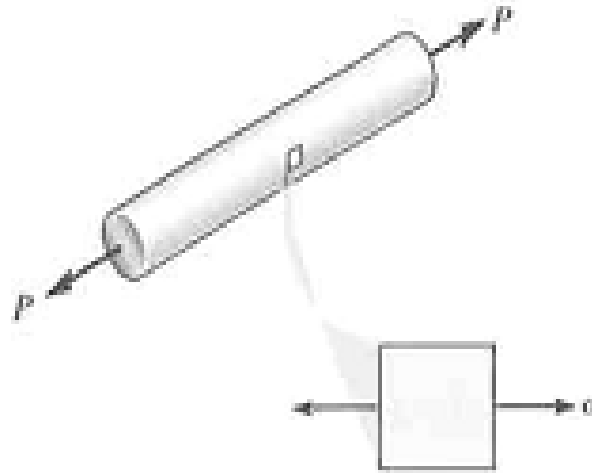


Figura 1.14

Pela convenção de sinal estabelecida, o estado de tensões em x-y tem as seguintes componentes:

$$\sigma_x = \sigma \qquad \sigma_y = 0 \qquad \tau_{xy} = 0$$

TENSÕES PRINCIPAIS E TENSÃO DE CISALHAMENTO MÁXIMA NO PLANO

Exemplo 1.3: Solução

- Tensões principais:

$$\sigma_{1,2} = \left(\frac{\sigma + 0}{2} \right) \pm \sqrt{\left(\frac{\sigma - 0}{2} \right)^2} \Rightarrow \sigma_1 = \sigma \text{ e } \sigma_2 = 0$$

A direção das tensões principais está também mostrada na figura 1.12: $\theta_{p1} = 0^\circ$ e $\theta_{p2} = 90^\circ$.

- Tensão de cisalhamento máxima no plano e suas direções:

$$\tau_{\max} = \sqrt{\left(\frac{\sigma - 0}{2} \right)^2 + 0^2} = \pm \frac{\sigma}{2}$$

$$\operatorname{tg}(2\theta_c) = -\frac{(\sigma - 0)}{2 \cdot 0} \Rightarrow \theta_c = 45^\circ \text{ e } 135^\circ$$



TENSÕES PRINCIPAIS E TENSÃO DE CISALHAMENTO MÁXIMA NO PLANO

Exemplo 1.3: Solução

Para verificar em quais faces atuam as tensões cisalhantes $+\sigma/2$ e $-\sigma/2$, substitui-se um dos ângulos θ_c na equação (1.7):

$$\tau_{x'y'} = -\frac{\sigma - 0}{2} \text{sen}(2.45^\circ) + 0.\cos 2.45^\circ = -\frac{\sigma}{2}$$

Portanto, a tensão negativa $-\sigma/2$ atua na face perpendicular ao eixo x' , como mostra a figura 1.15.

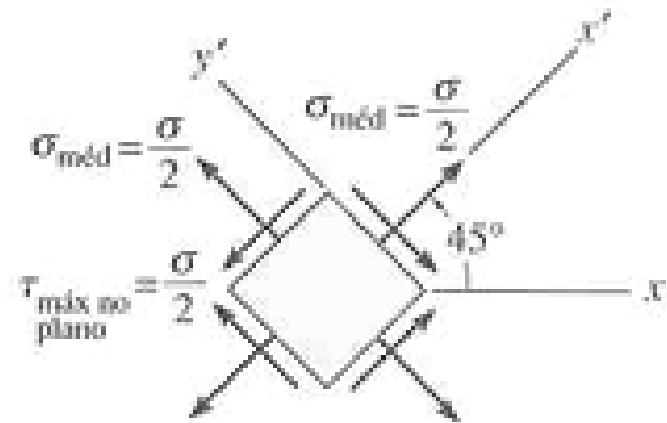


Figura 1.15

TENSÕES PRINCIPAIS E TENSÃO DE CISALHAMENTO MÁXIMA NO PLANO

Exercício 1.1: Em um trilho foi determinado o estado de tensões no ponto A, mostrado na figura. Para este mesmo ponto determine o estado de tensões principais e de cisalhamento máximo no plano. Indique esses estados em elementos adequadamente orientados.

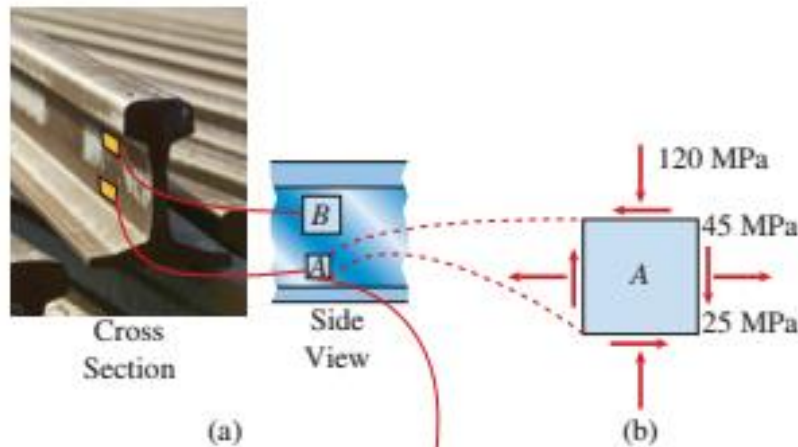


Figura 1.16



TENSÕES PRINCIPAIS E TENSÃO DE CISALHAMENTO MÁXIMA NO PLANO

Exercício 1.2: Um determinado ponto em um chassi de um carro tem o estado de tensão mostrado na figura. Para este mesmo ponto determine o estado de tensões principais e de cisalhamento máximo no plano. Indique esses estados em elementos adequadamente orientados tendo x como referência.

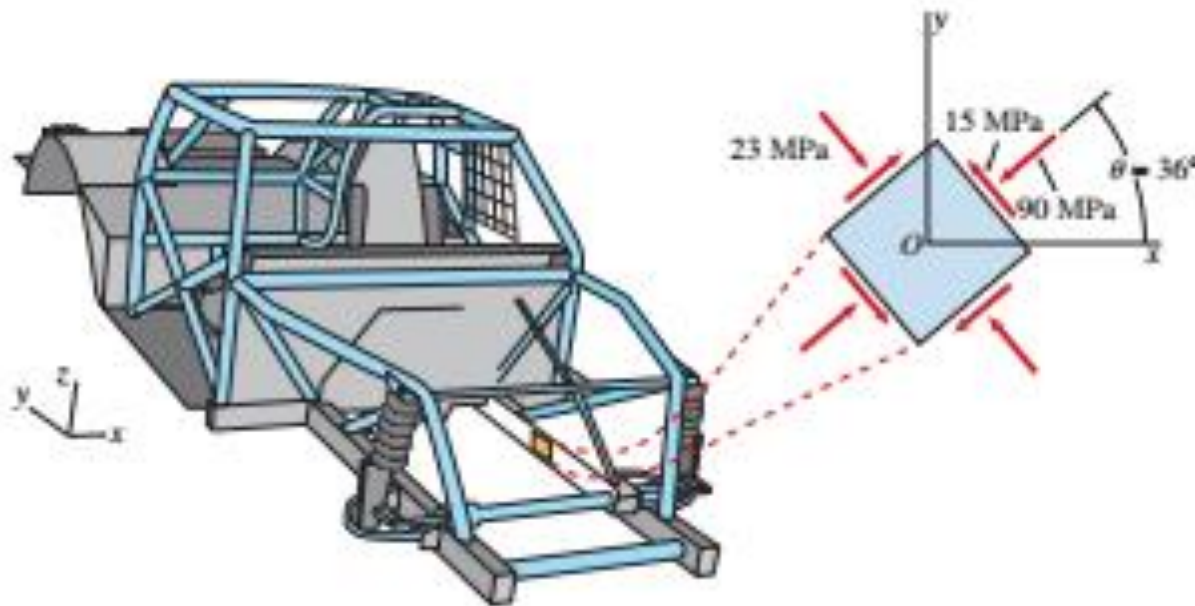


Figura 1.17

TENSÕES PRINCIPAIS E TENSÃO DE CISALHAMENTO MÁXIMA NO PLANO

Exercício 1.3: Um tubo com diâmetro externo igual a 304,8 mm é fabricado a partir de uma placa com espessura de 6,35 mm que é soldada formando uma hélice orientada a $22,5^\circ$ em relação ao plano perpendicular ao eixo do tubo. Sabendo que uma força axial P de 178 kN e que um torque de 9038 kN.mm são aplicados ao tubo, segundo as direções mostradas na figura 1.18, determine as tensões normal e tangencial à solda.

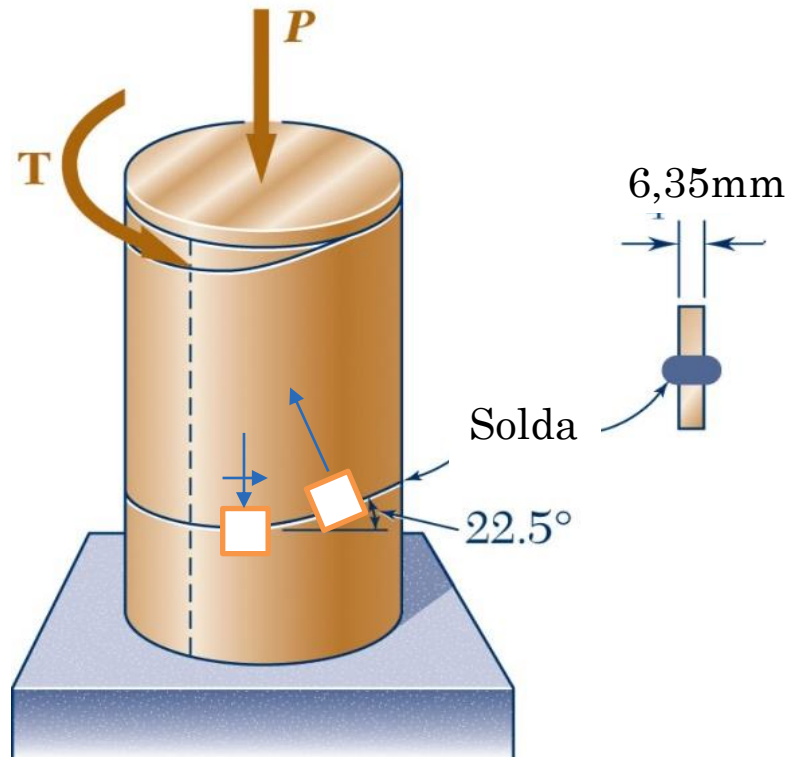


Figura 1.18

TENSÕES PRINCIPAIS E TENSÃO DE CISCALHAMENTO MÁXIMA NO PLANO

Exercício 1.4: Uma viga de seção retangular está submetida a uma carga inclinada (figura 1.19). Determinar as tensões principais e a de cisalhamento máxima no plano, que se desenvolvem nos pontos A e B. Mostrar os resultados em elementos adequadamente orientados.

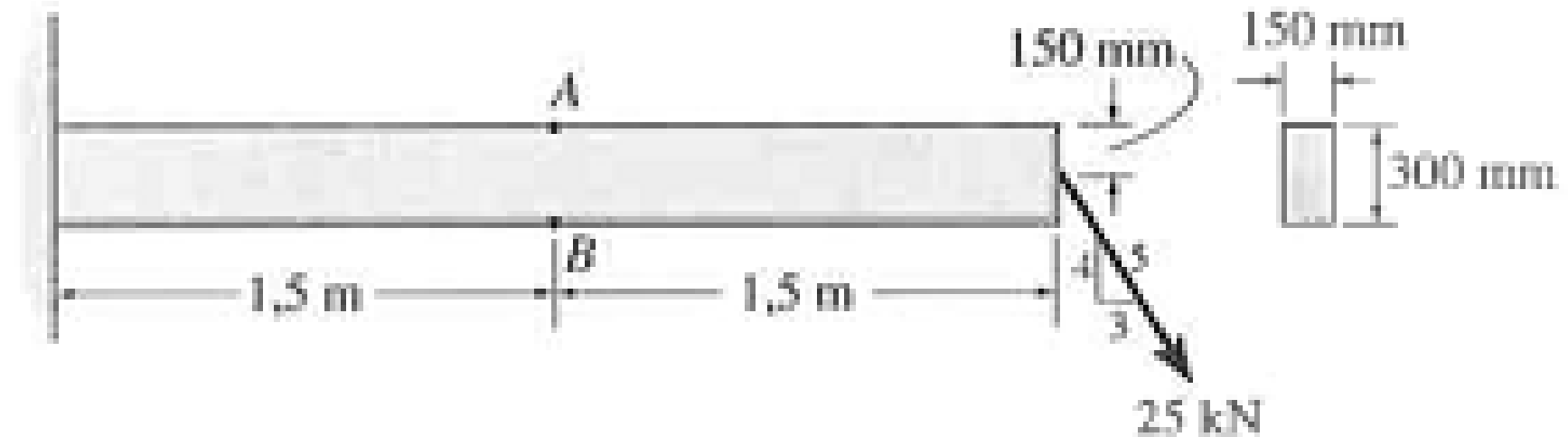


Figura 1.19



CÍRCULO DE MOHR – ESTADO PLANO DE TENSÕES

Desenvolvido pelo engenheiro alemão **Otto Mohr**, esta é uma metodologia gráfica, relativamente simples, para encontrar tensões em diferentes orientações e mesmo as tensões principais e máxima de cisalhamento.

Construção do Círculo de Mohr:

- Considerando o elemento da figura 1.10.

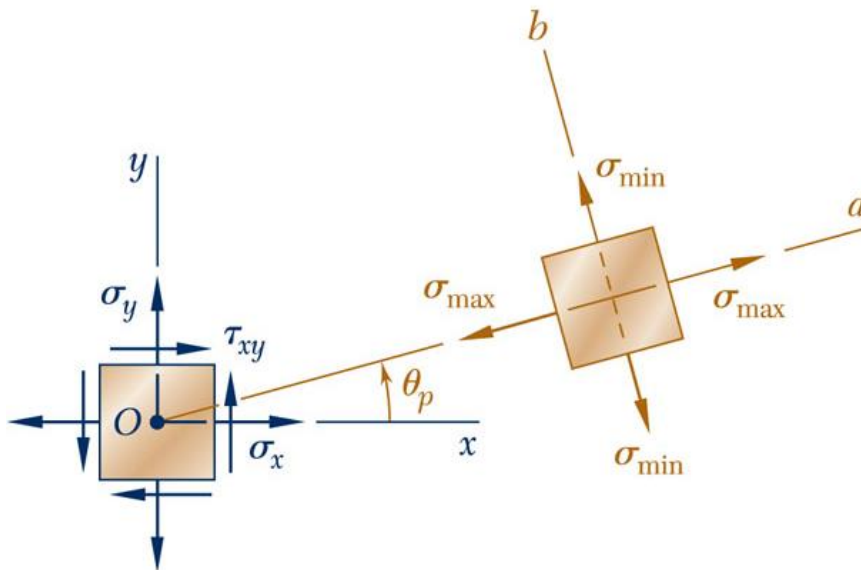


Figura 1.10
(repetida)



CÍRCULO DE MOHR – ESTADO PLANO DE TENSÕES

Construção do Círculo de Mohr (continuação): (figura 1.20)

- Primeiro define-se o sistema de eixos, sendo as tensões normais localizadas na abscissa (σ) e as de cisalhamento localizadas na ordenada (τ);
- Representamos um ponto **X** ($\sigma_x, -\tau_{xy}$) e um ponto **Y** (σ_y, τ_{xy}). Se τ_{xy} for positiva, como na figura 1.10, o ponto X estará localizado abaixo do eixo σ e o Y acima, ocorrendo o contrário em caso de τ_{xy} negativa;
- Unindo os pontos X e Y por uma reta definimos o ponto C, que é a interseção do segmento XY com o eixo σ .
- Traça-se então o círculo, de centro C e diâmetro XY.



CÍRCULO DE MOHR – ESTADO PLANO DE TENSÕES

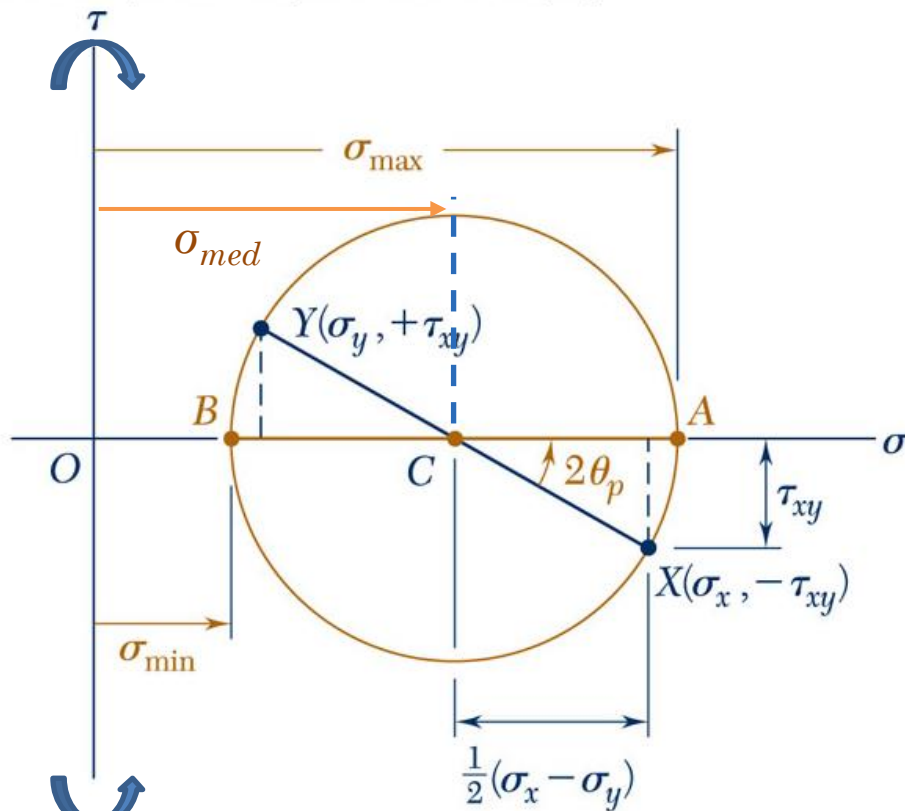


Figura 1.20

Observações importantes:

1. A abscissa do centro C do círculo é igual à **tensão média**;
2. O raio do círculo é igual à tensão de **cisalhamento máxima no plano**;
3. Concluimos assim que o círculo construído pode representar o estado de tensões apresentado na figura 1.10 em qualquer orientação;
4. Assim, as abscissas dos pontos A e B em que o círculo intercepta o eixo **σ** representam, respectivamente, as tensões principais **σ_{\max} (σ_1) e σ_{\min} (σ_2)**;

CÍRCULO DE MOHR – ESTADO PLANO DE TENSÃO

Pode-se construir o Círculo de Mohr a partir de qualquer estado de tensão σ_x , σ_y e τ_{xy} , usando os mesmos procedimentos estabelecidos anteriormente, como mostrado na figura (1.21).

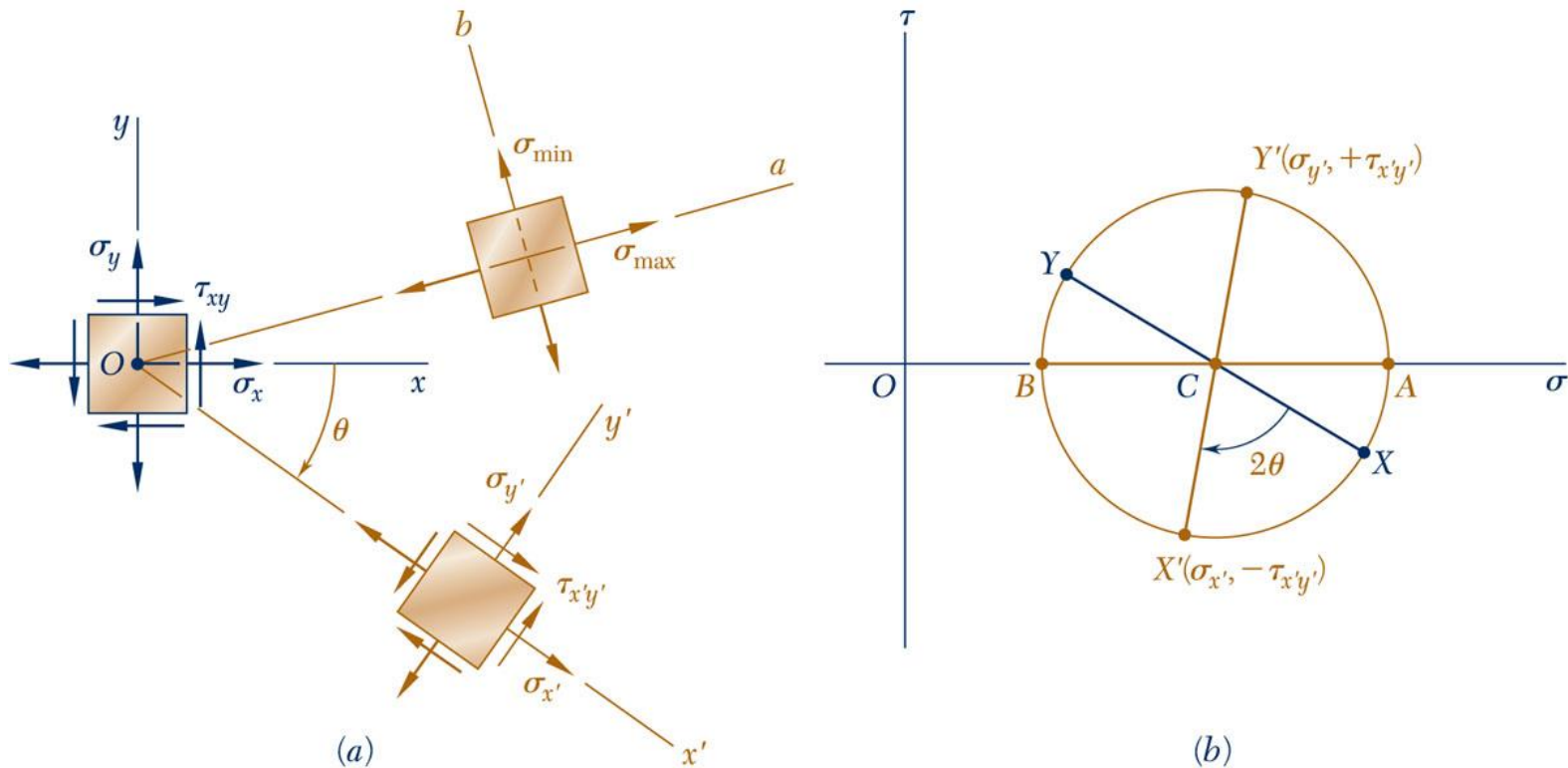


Figura 1.21

CÍRCULO DE MOHR – ESTADO PLANO DE TENSÕES (CASOS PARTICULARES)

Círculo de Mohr para carga axial centrada:

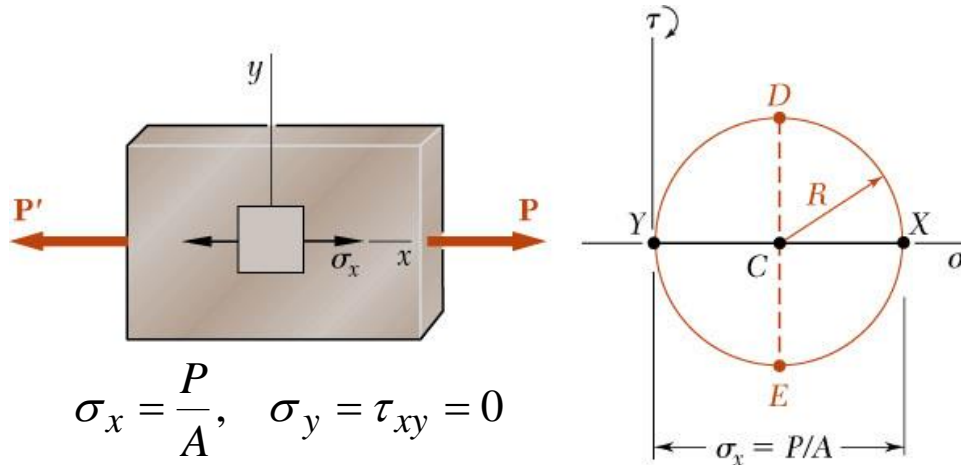
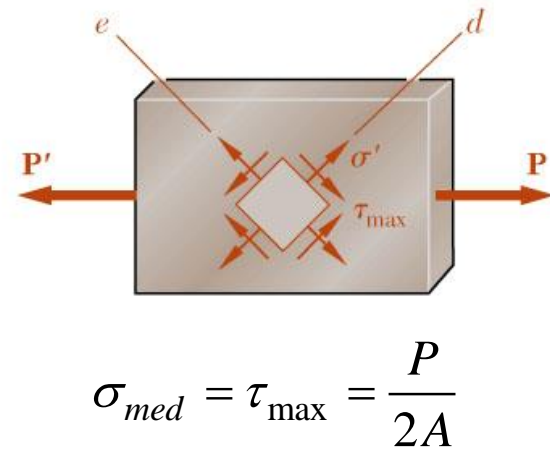


Figura 1.22



Círculo de Mohr para carga de torção:

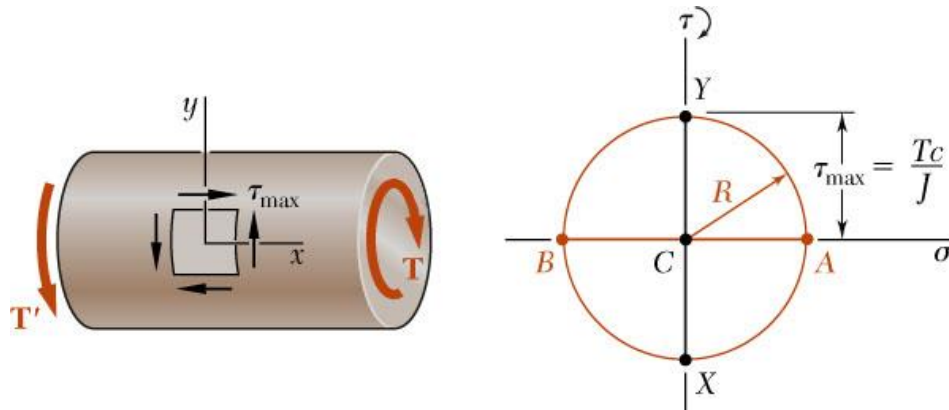
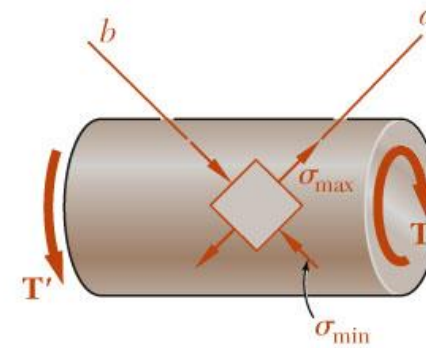


Figura 1.23



CÍRCULO DE MOHR – ESTADO PLANO DE TENSÕES

Exemplo 1.4: Para o estado plano de tensões mostrado na figura 1.24:

(a) Construir o círculo de Mohr; e determinar: (b) os planos principais e as tensões principais, (c) a tensão de cisalhamento máxima e a tensão normal média correspondente.

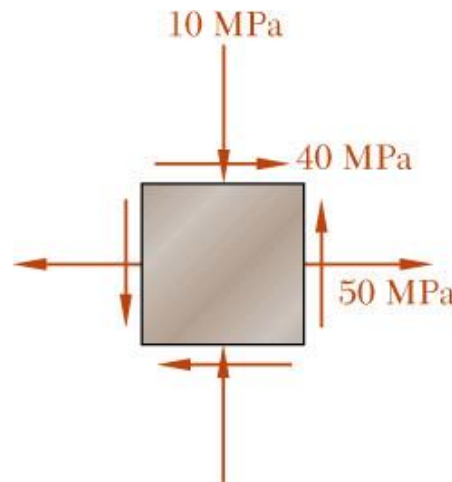


Figura 1.24



CÍRCULO DE MOHR – ESTADO PLANO DE TENSÕES

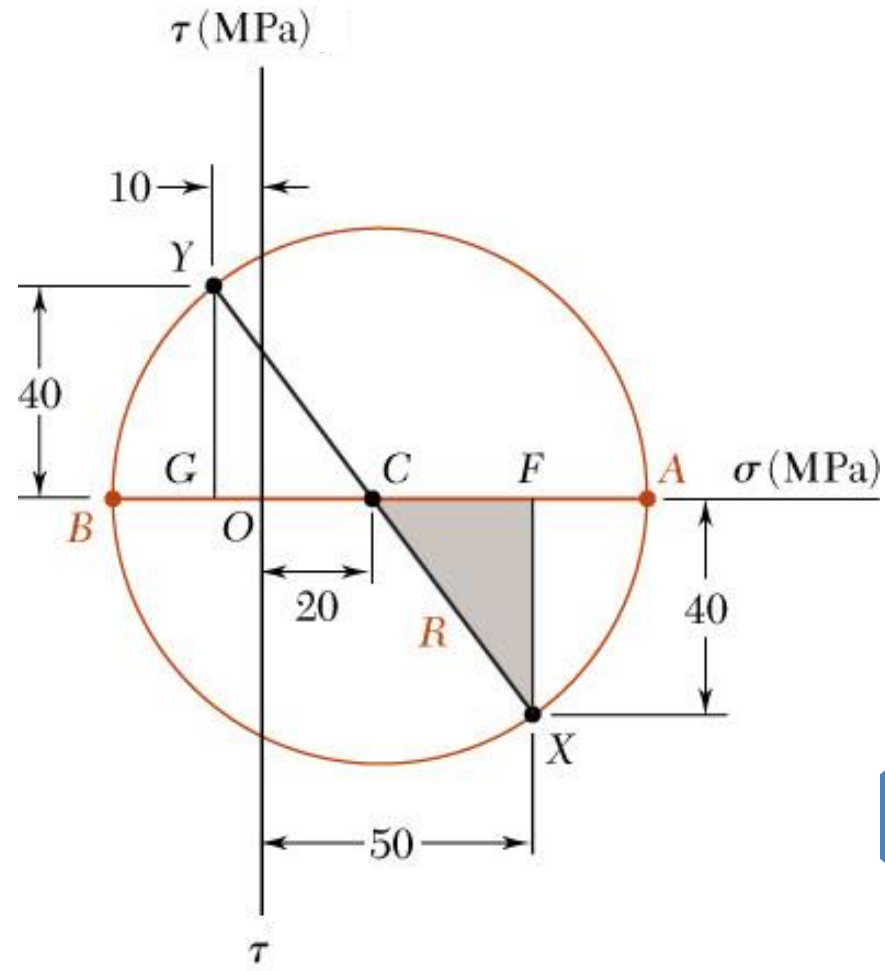
Exemplo 1.4: Solução

a) Para a construção do círculo de Mohr, usa-se:

$$\sigma_{méd} = \frac{\sigma_x + \sigma_y}{2} = \frac{(50) + (-10)}{2} = 20 \text{ MPa}$$

$$CF = 50 - 20 = 30 \text{ MPa} \quad FX = 40 \text{ MPa}$$

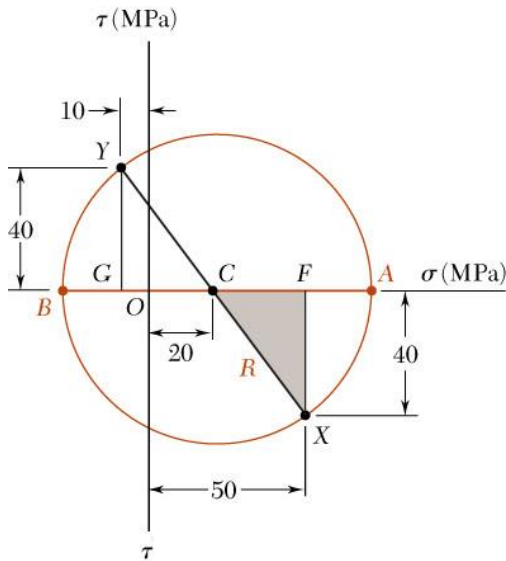
$$R = CX = \sqrt{(30)^2 + (40)^2} = 50 \text{ MPa}$$



CÍRCULO DE MOHR – ESTADO PLANO DE TENSÕES

Exemplo 1.4: Solução

b) Tensões principais e suas orientações:



$$\sigma_{\max} = OA = OC + CA = 20 + 50$$

$$\sigma_{\max} = 70 \text{ MPa}$$

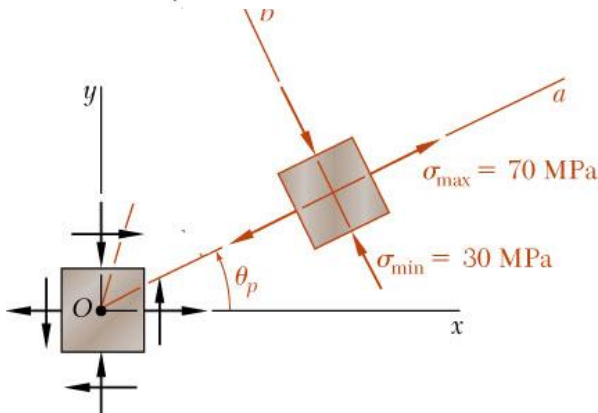
$$\sigma_{\min} = OB = OC - BC = 20 - 50$$

$$\sigma_{\min} = -30 \text{ MPa}$$

$$\tan 2\theta_p = \frac{FX}{CF} = \frac{40}{30}$$

$$2\theta_p = 53.1^\circ$$

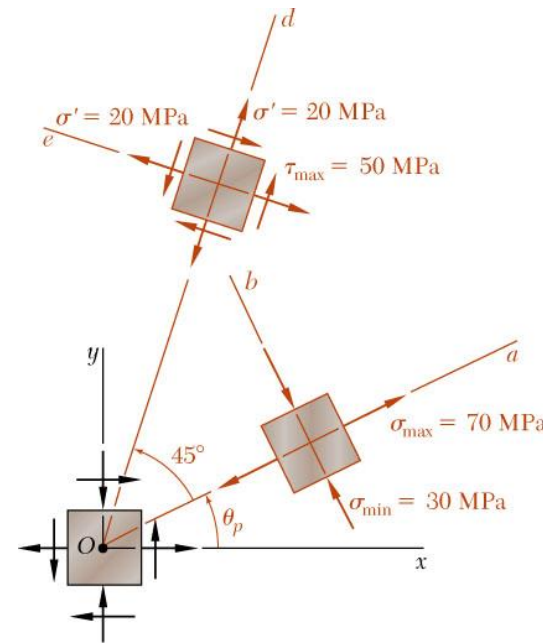
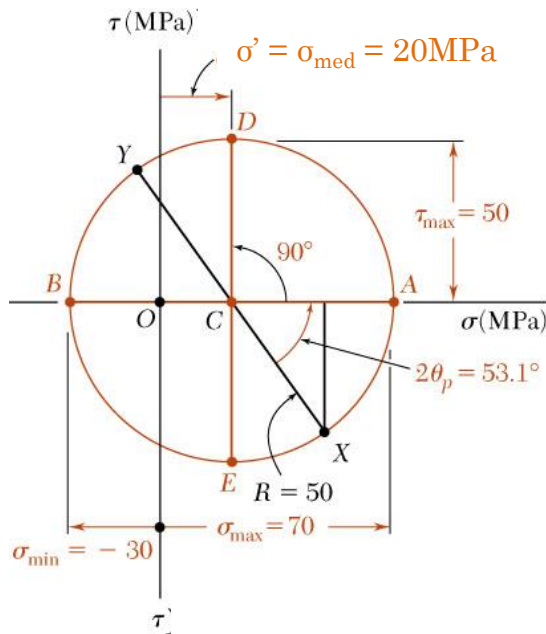
$$\theta_{p1} = 26,6^\circ \text{ e } \theta_{p2} = 116,6^\circ$$



CÍRCULO DE MOHR – ESTADO PLANO DE TENSÕES

Exemplo 1.4: Solução

c) Tensão de cisalhamento máxima no plano e tensão normal média



$$\theta_c = \theta_p + 45^\circ$$

$$\tau_{\max} = R$$

$$\sigma' = \sigma_{\text{med}}$$

$$\theta_c = 71,6^\circ$$

$$\tau_{\max} = 50 \text{ MPa}$$

$$\sigma' = 20 \text{ MPa}$$

CÍRCULO DE MOHR – ESTADO PLANO DE TENSÕES

Execício 1.5: Para o estado plano de tensões mostrado na figura 1.25:

(a) Construir o círculo de Mohr; e determinar: (b) os planos principais e as tensões principais, (c) as componentes de tensão atuantes no elemento obtido pela rotação do elemento de 30° no sentido anti-horário.

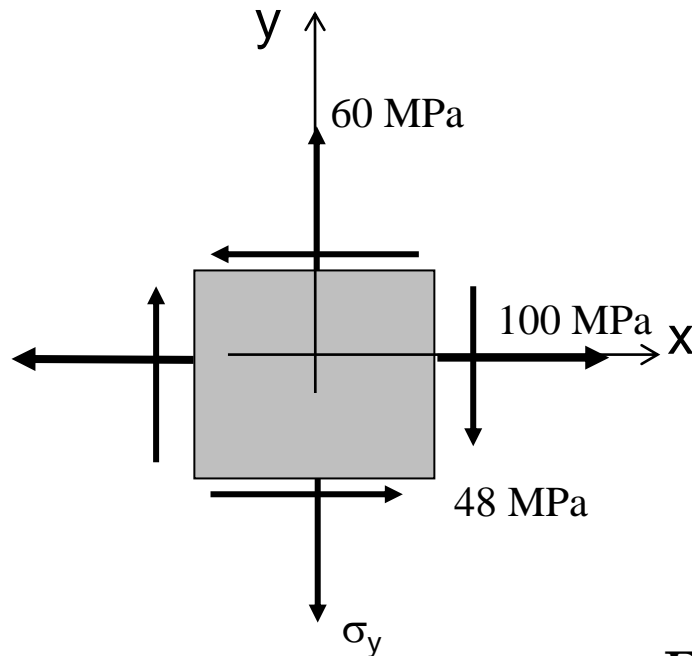
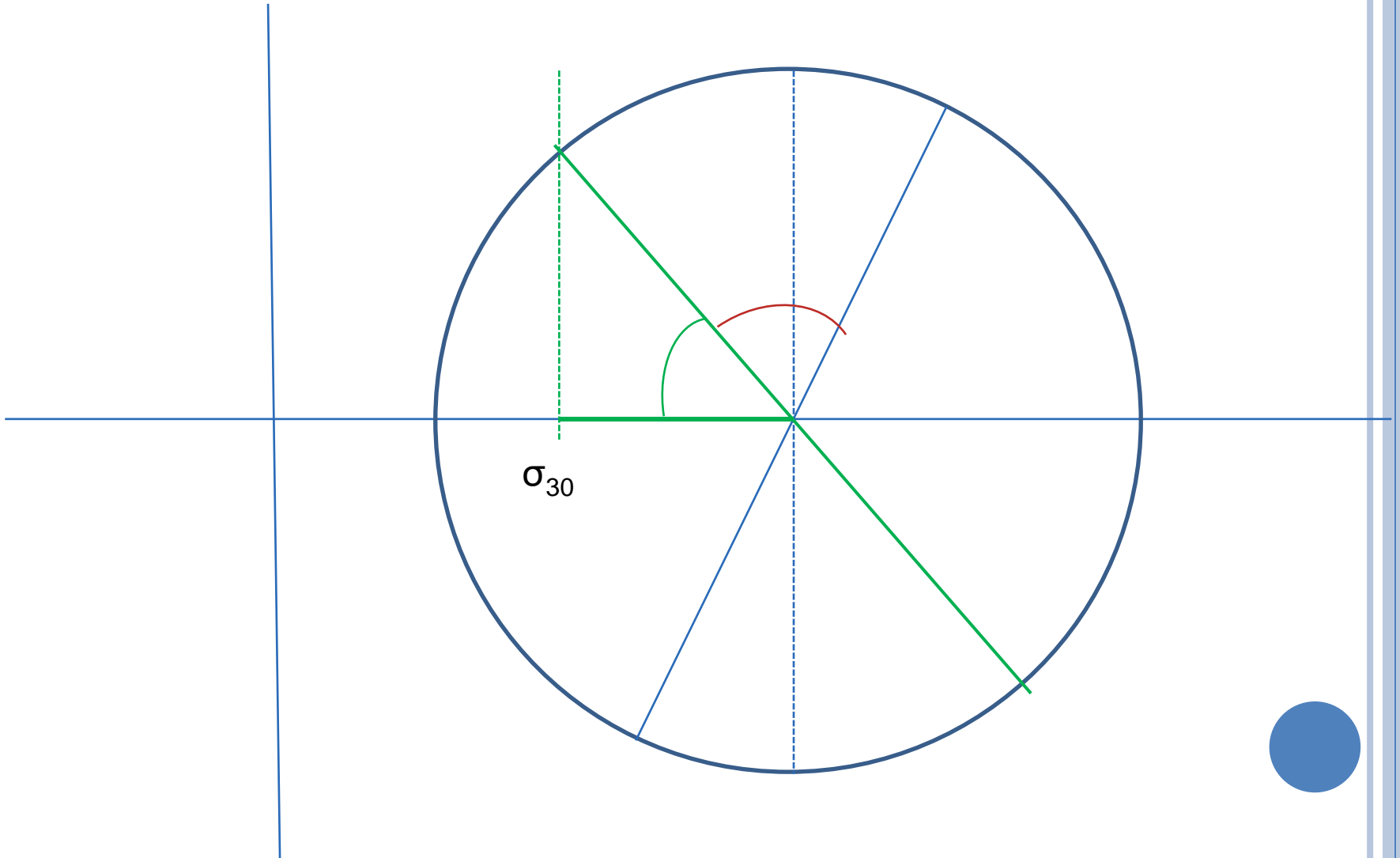


Figura 1.25

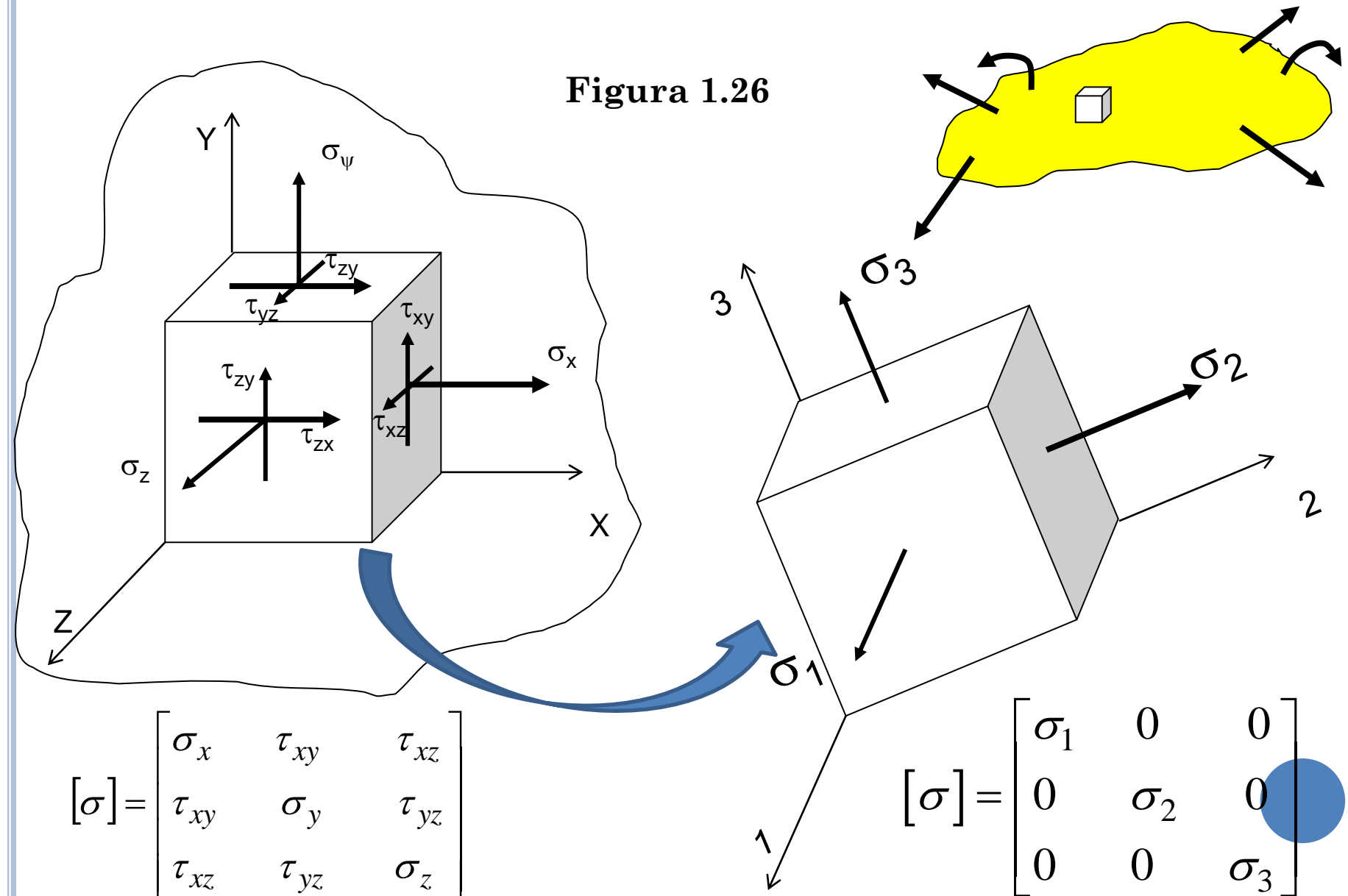
CÍRCULO DE MOHR – ESTADO PLANO DE TENSÕES

Exercício 1.5:



ESTADO GERAL (TRIAxIAL) DE TENSÕES

Figura 1.26



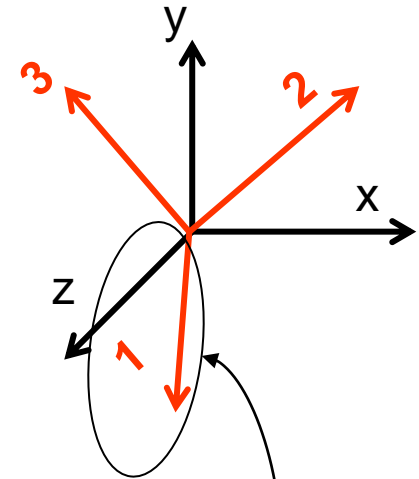
ESTADO GERAL DE TENSÕES

$$\sigma^3 - I_1 \cdot \sigma^2 + I_2 \cdot \sigma - I_3 = 0$$

$$\rightarrow \begin{cases} I_1 = \sigma_x + \sigma_y + \sigma_z \\ I_2 = \sigma_x \sigma_y + \sigma_z \sigma_x + \sigma_z \sigma_y - \tau_{xy}^2 - \tau_{xz}^2 - \tau_{zy}^2 \\ I_3 = \sigma_x \sigma_y \sigma_z + 2 \cdot \tau_x \tau_y \tau_z - \sigma_x \tau_{zy}^2 - \sigma_y \tau_{xz}^2 - \sigma_z \tau_{xy}^2 \end{cases}$$

Equação ou polinômio característico tem 3 raízes $\rightarrow \sigma_1 > \sigma_2 > \sigma_3$ que são os autovalores ou as tensões principais.

$$[\sigma] = \begin{bmatrix} \sigma_x & \tau_{xy} & \tau_{xz} \\ \tau_{xy} & \sigma_y & \tau_{yz} \\ \tau_{xz} & \tau_{yz} & \sigma_z \end{bmatrix} \longrightarrow [\sigma'] = \begin{bmatrix} \sigma_1 & 0 & 0 \\ 0 & \sigma_2 & 0 \\ 0 & 0 & \sigma_3 \end{bmatrix}$$



Planos Principais (autovetores):

- são os planos onde atuam cada uma das tensões principais:

Determinação de v_1 $\begin{cases} (\sigma_x - \sigma_1) \cdot v_{1x} + \tau_{yx} \cdot v_{1y} + \tau_{zx} \cdot v_{1z} = 0 \\ \tau_{xy} \cdot v_{1x} + (\sigma_y - \sigma_1) \cdot v_{1y} + \tau_{zy} \cdot v_{1z} = 0 \\ \tau_{xz} \cdot v_{1x} + \tau_{yz} \cdot v_{1y} + (\sigma_z - \sigma_1) \cdot v_{1z} = 0 \end{cases} \Rightarrow v_1 = \begin{pmatrix} v_{1x} \\ v_{1y} \\ v_{1z} \end{pmatrix}$



CÍRCULO DE MOHR – ESTADO GERAL DE TENSÕES

Se o elemento mostrado na figura 1.27a (tensões principais) sofre uma rotação em torno de um dos eixos principais em Q – como o eixo C, por exemplo (figura 1.27b) – a transformação de tensões correspondente poderá ser analisada também pelo Círculo de Mohr.

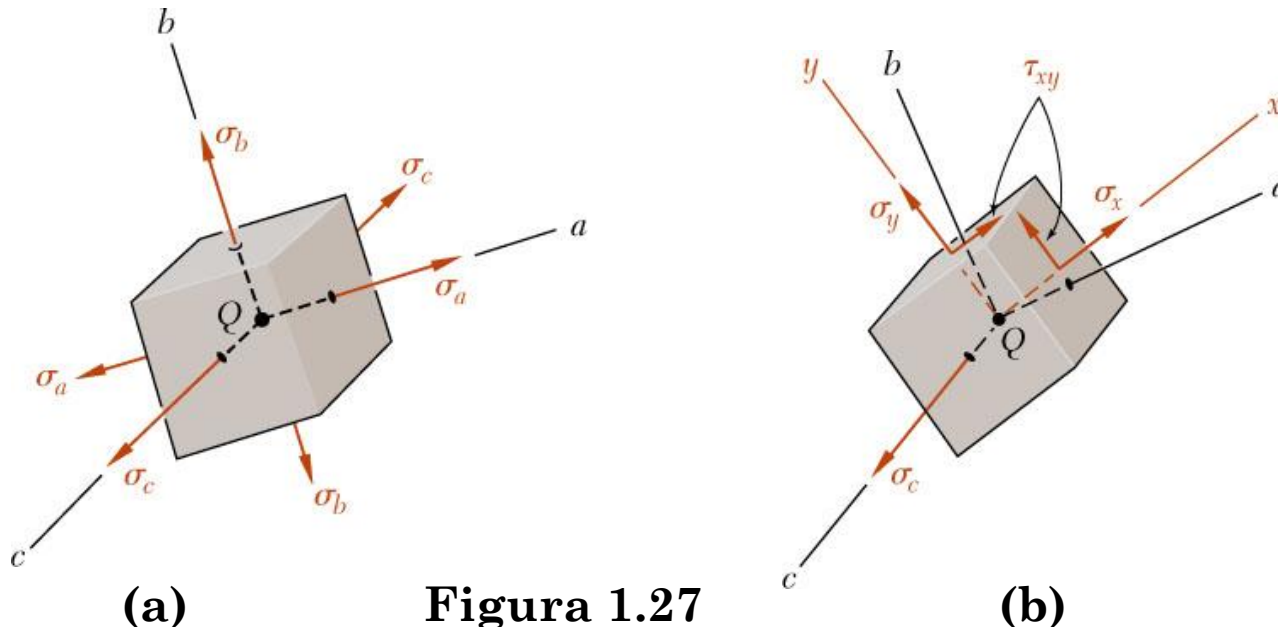


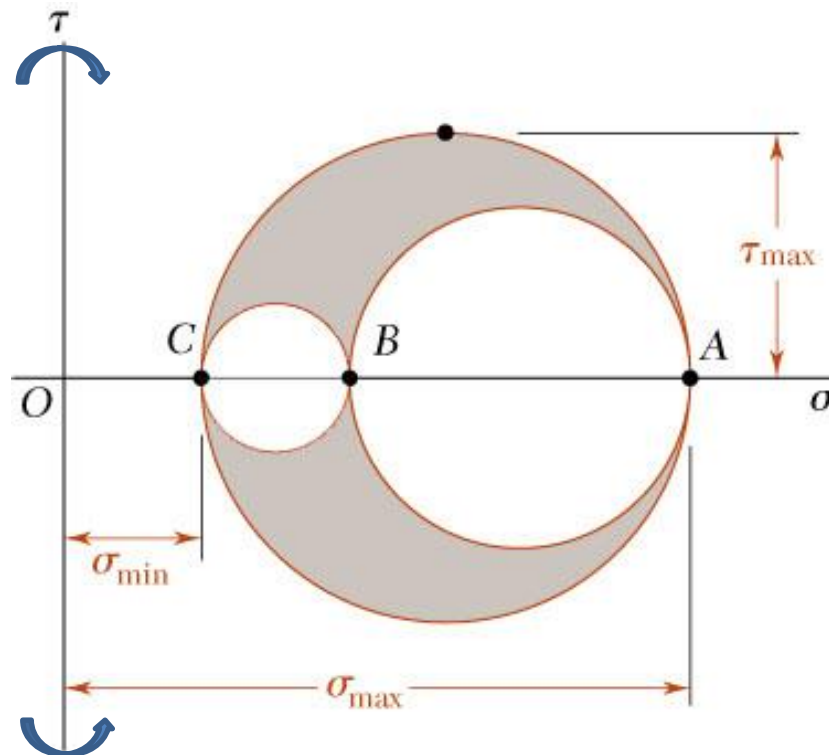
Figura 1.27

As tensões de cisalhamento que atuam nas faces perpendiculares ao eixo c permanecem nulas e a tensão normal σ_c também permanece igual.

CÍRCULO DE MOHR – ESTADO GERAL DE TENSÕES

Usamos, então, o círculo diâmetro AB para determinar as tensões, normal e de cisalhamento, que atuam nas faces do elemento quando ele sofre uma rotação em torno do eixo c (figura 1.28). Analogamente, os círculos de diâmetros BC e AC são usados para determinar as tensões, normal e de cisalhamento, que atuam nas faces do elemento quando ele sofre uma rotação em torno do eixo a e b, respectivamente.

Figura 1.28



CÍRCULO DE MOHR – ESTADO GERAL DE TENSÕES

Embora toda a análise tenha sido limitada em torno dos eixos principais, qualquer outra transformação de tensões a partir dos estados de tensões dos elementos mostrado nas figuras 1.27a e b levaria a pontos localizados na área sombreada da figura 1.28.

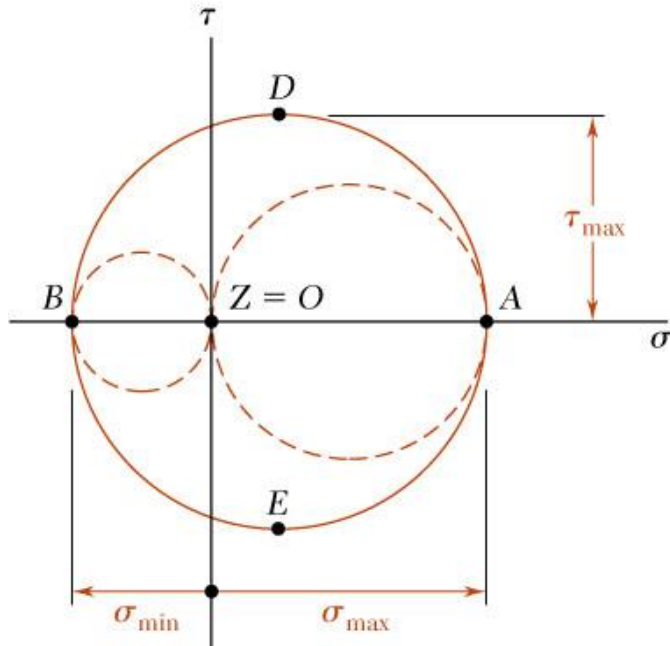
Até o momento, só definimos a máxima tensão de cisalhamento no plano. A partir da figura 1.28, pode-se definir também a máxima tensão de cisalhamento absoluta:

$$\tau_{\max_{abs}} = \frac{1}{2} |\sigma_{\max} - \sigma_{\min}| \text{ ou } \frac{1}{2} |\sigma_1 - \sigma_3|, \quad (1.16)$$

$$\text{sendo : } \sigma_1 > \sigma_2 > \sigma_3$$

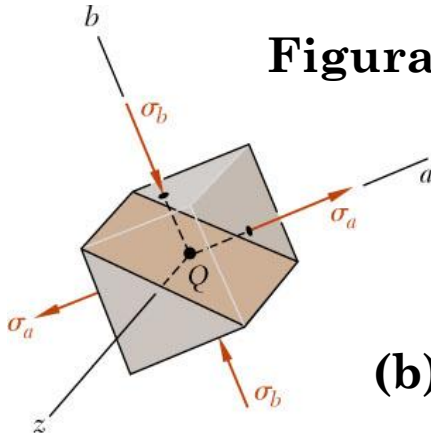
A correta utilização da equação 1.16 será essencial para a aplicação do critério de falha de Tresca, que será estudado mais adiante.

CÍRCULO DE MOHR – ESTADO GERAL DE TENSÕES (PARTICULARIZAÇÃO PARA O ESTADO PLANO)



(a)

Figura 1.29



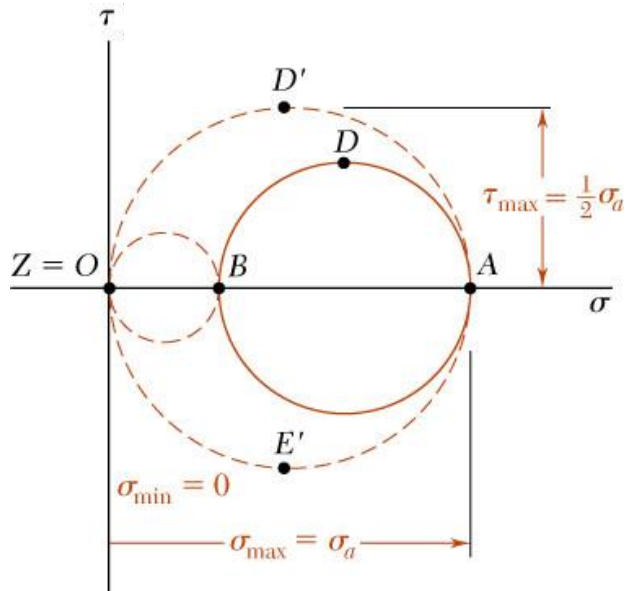
(b)

No caso do estado plano de tensão, o eixo perpendicular ao plano de tensão é um eixo principal (tensão normal e cisalhante são nulas).

Se os pontos *A* e *B* (**representando as tensões máxima e mínima**) estão em lados opostos da origem, então:

- as tensões principais correspondentes são as tensões normais máximas e mínimas para o elemento analisado.
- a tensão de cisalhamento máxima (absoluta) para o elemento é igual à tensão de cisalhamento máxima “no plano” (perpendicular ao eixo *z*)
- planos de tensão de cisalhamento máxima (absoluta) estão a 45° dos planos principais.

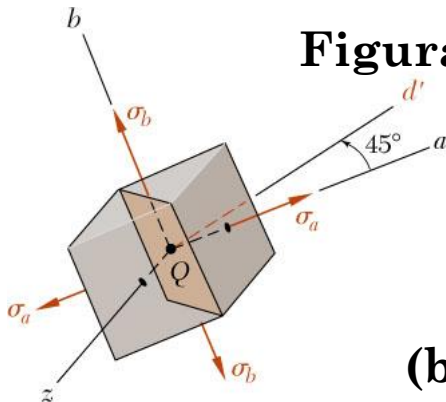
CÍRCULO DE MOHR – ESTADO GERAL DE TENSÕES (PARTICULARIZAÇÃO PARA O ESTADO PLANO)



Se A e B estão do mesmo lado da origem (ou seja, têm o mesmo sinal e **representam as tensões máxima e intermediária**), então

- o círculo que define σ_{\max} , σ_{\min} , e τ_{\max} para o elemento não é o círculo correspondente às transformações de tensão dentro do plano (a-b).
- a tensão de cisalhamento máxima para o elemento é igual a metade da tensão normal máxima.
- os planos de tensão de cisalhamento máxima estão a 45° girando o plano “z-a” em torno de **b**.

(a) **Figura 1.29**



(b)

EXERCÍCIOS GERAIS



Exercício 1.6: Um ponto em uma chapa fina está sujeito a dois estados de tensão, como mostrado na figura 1.30. Determinar o estado de tensão resultante em relação a um elemento orientado como o da direita.

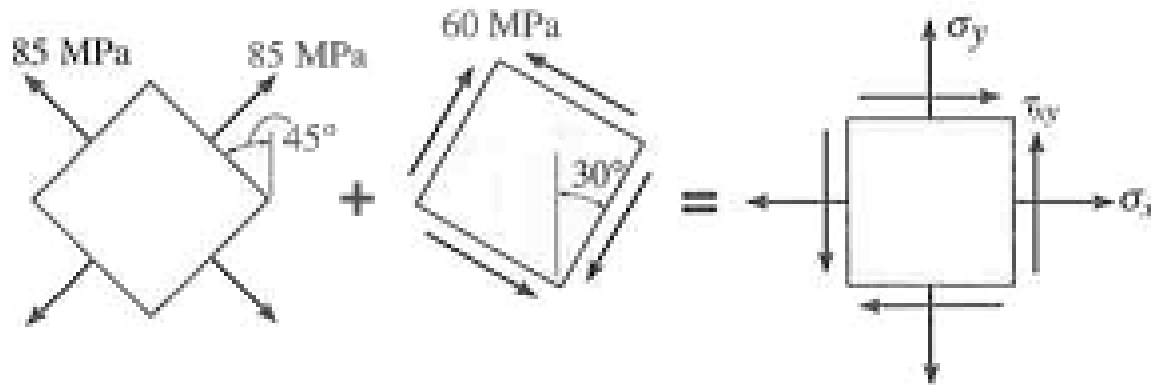


Figura 1.30

$$\sigma_x = 33 \text{ MPa}$$

$$\sigma_y = 137 \text{ MPa}$$

$$\tau_{xy} = -30 \text{ MPa}$$



Exercício 1.7: As fibras de um elemento de madeira formam um ângulo de 15° com a vertical. Para o estado de tensão mostrado, determine: a) a tensão de cisalhamento no plano, paralela às fibras; e (b) a tensão normal perpendicular às fibras.

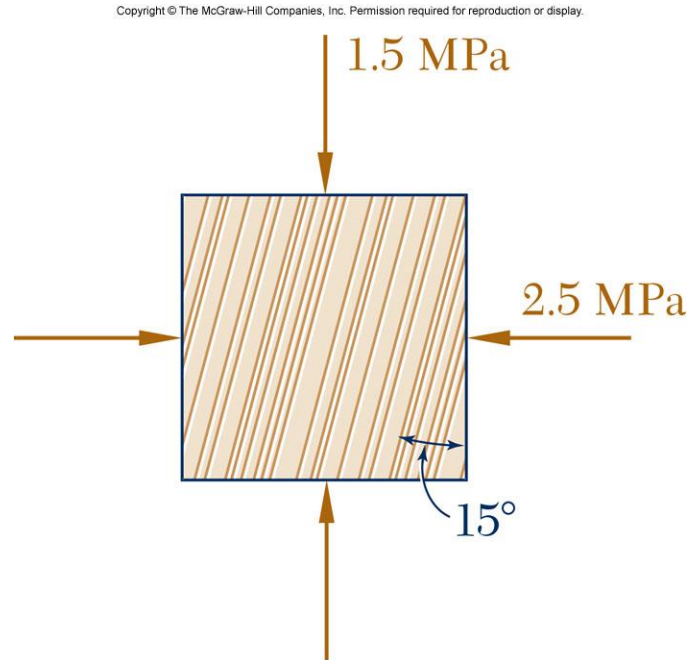


Figura 1.31

$$\sigma_{-15^\circ} = -2,43 \text{ MPa}$$

$$\tau_{-15^\circ} = -0,25 \text{ MPa}$$

Exercício 1.8: O fixador força a superfície lisa em E quando se aperta o parafuso. Supondo que a força de tração no parafuso seja de 40 kN, determinar as tensões principais nos pontos A e B e mostrar os resultados em elementos localizados em cada um desses pontos.

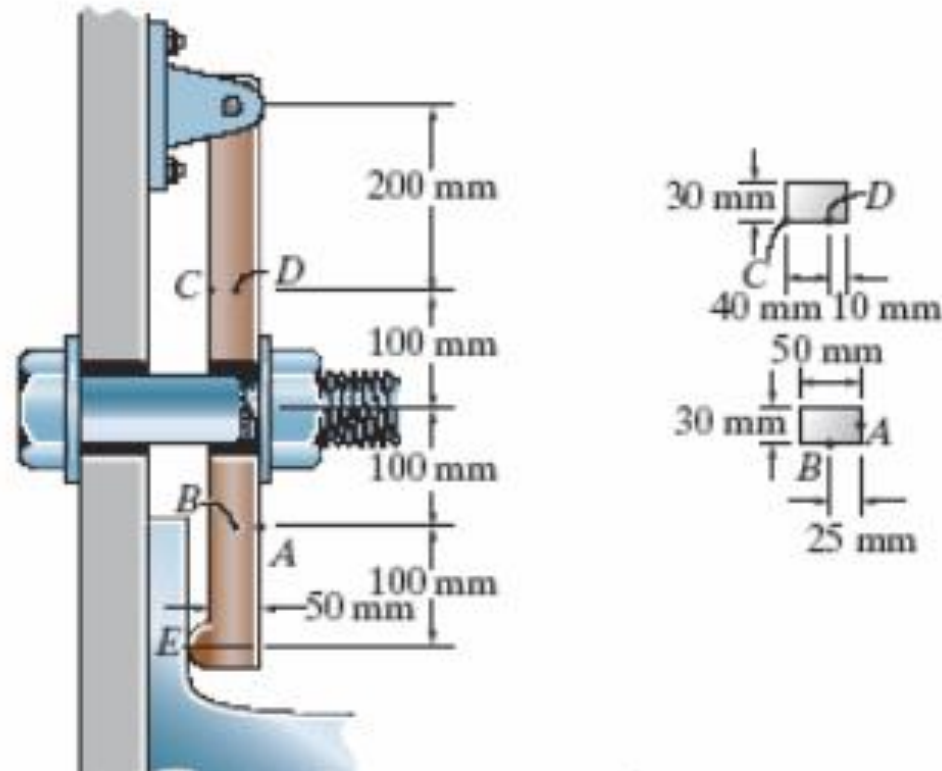


Figura 1.32

$$\sigma_{1A} = 0$$

$$\sigma_{1B} = 24 \text{ MPa}$$

$$\sigma_{2A} = -192 \text{ MPa}$$

$$\sigma_{2B} = -24 \text{ MPa}$$

Exercício 1.9: A estrutura suporta a carga distribuída de 200 N/m. Determine as tensões normal e de cisalhamento que atuam nos pontos D e E, que atuam perpendicular e paralelamente às fibras respectivamente.

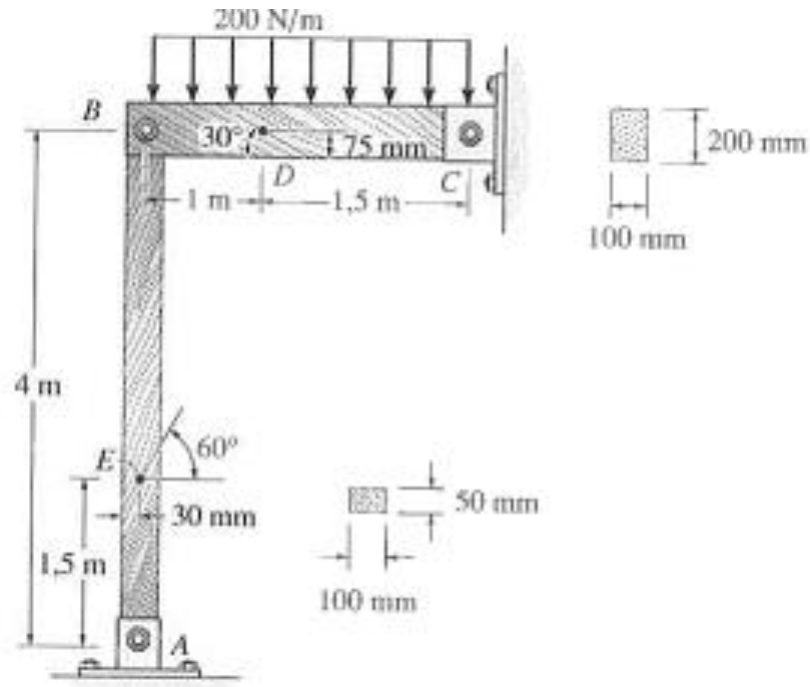


Figura 1.32

$$\sigma_{60^\circ D} = 11 \text{ kPa}$$

$$\sigma_{-30^\circ E} = -12,5 \text{ kPa}$$

$$\tau_{60^\circ D} = -22,6 \text{ kPa}$$

$$\tau_{-30^\circ E} = 21,7 \text{ kPa}$$

Exercício 1.10: A viga T está submetida à carga distribuída que é aplicada ao longo de sua linha de centro. Determinar as tensões principais nos pontos A e B e mostrar os resultados em elementos que representem estes pontos.

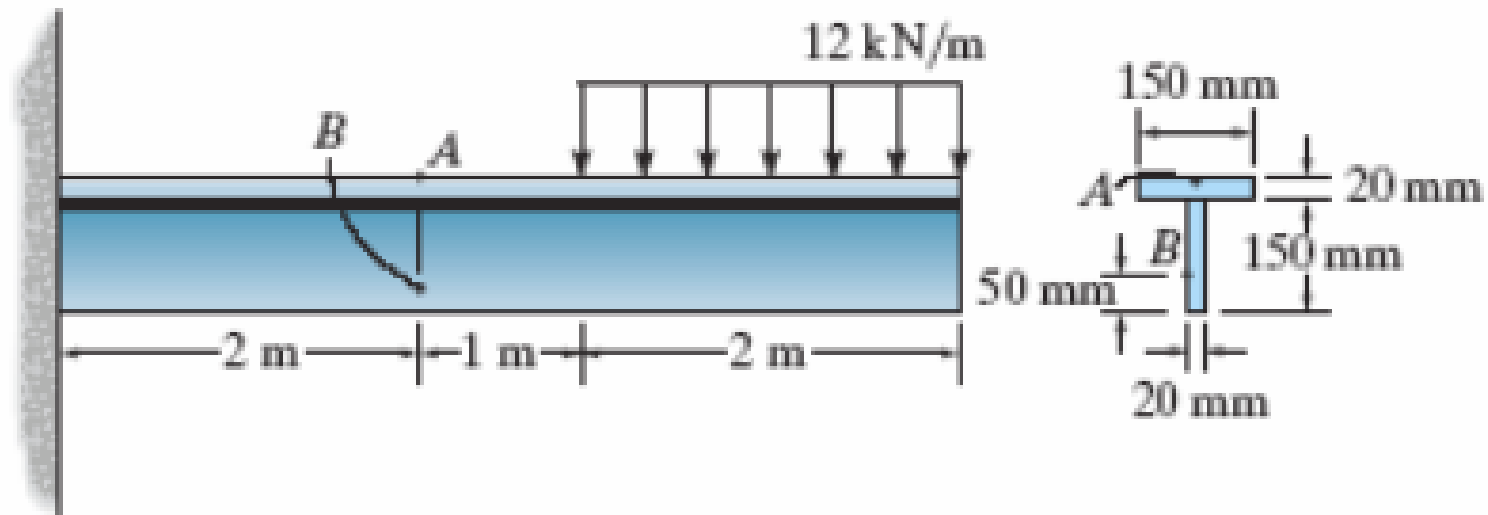


Figura 1.33

$$\sigma_{1A} = 152 \text{ MPa}$$

$$\sigma_{1B} = 0,23 \text{ MPa}$$

$$\sigma_{2A} = 0$$

$$\sigma_{2B} = -196 \text{ MPa}$$

Exercício 1.11: A viga de abas largas está submetida às cargas mostradas na figura 1.34. Determinar as tensões principais nos pontos A e B e mostrar os resultados em elementos que representem estes pontos.

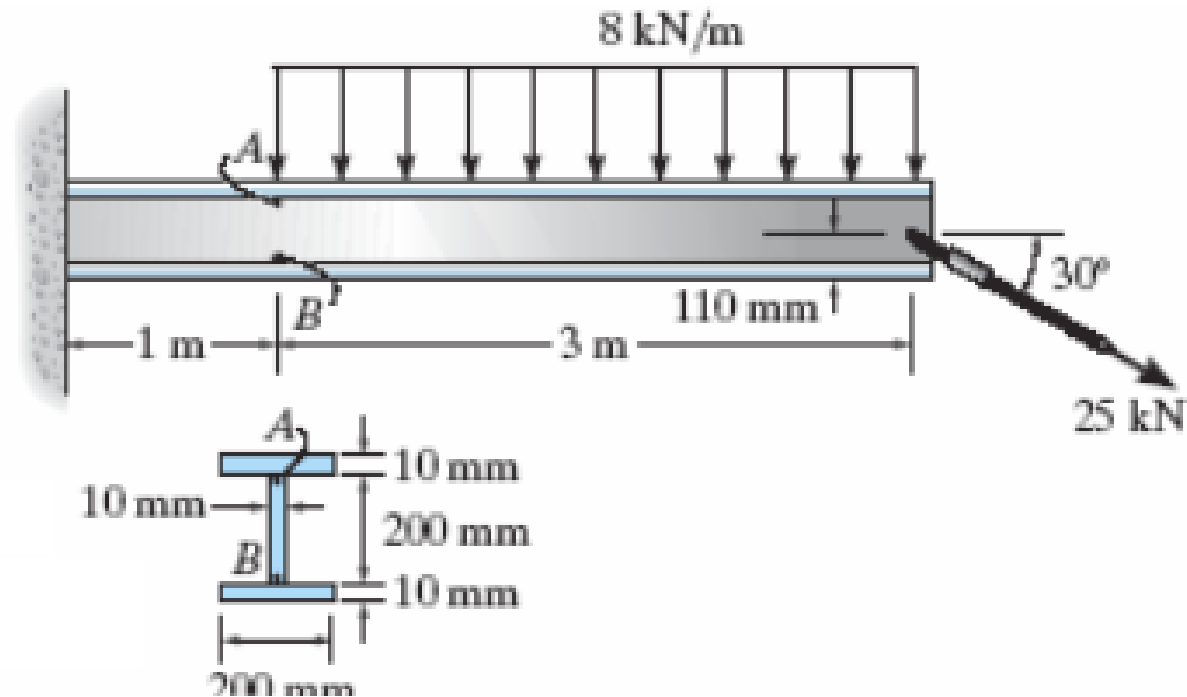


Figura 1.34

$$\sigma_{1A} = 150 \text{ MPa}$$

$$\sigma_{1B} = 1,6 \text{ MPa}$$

$$\sigma_{2A} = -1,52 \text{ MPa}$$

$$\sigma_{2B} = -143 \text{ MPa}$$